

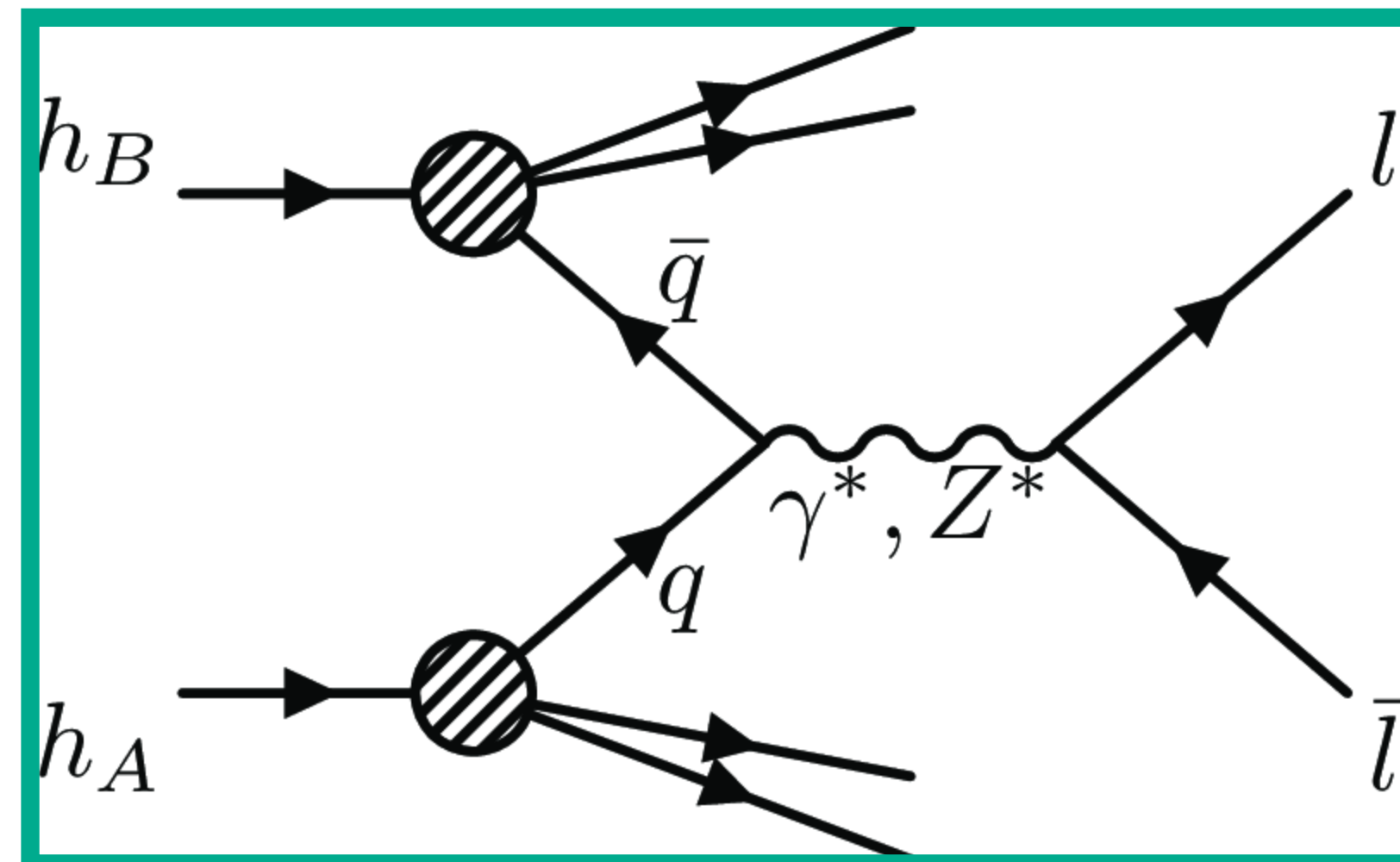
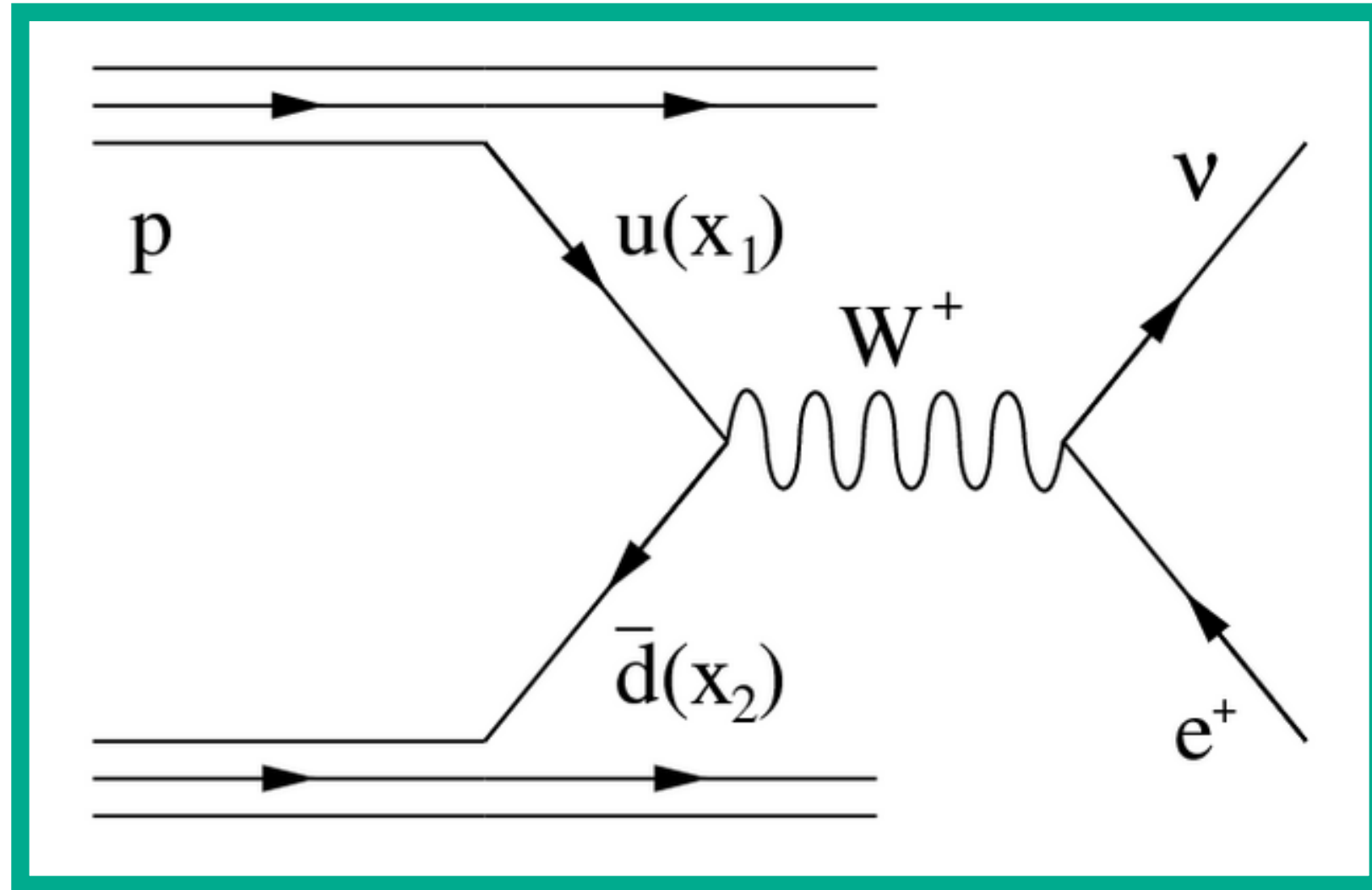
ПОЛЯРИЗАЦИОННЫЕ УГЛОВЫЕ КОЭФФИЦИЕНТЫ В ПРОЦЕССАХ ЛЕПТОННОГО РАСПАДА W-БОЗОНА В ЭКСПЕРИМЕНТЕ ATLAS

Научный руководитель: Пономаренко Д. Е.

Выполнил: Толкачев Г.А.

19.01.2022

Процесс Дрелла-Яна



- Процесс характеризуется кварками в начальном состоянии, лептонами в конечном состоянии и бозоном в промежуточном состоянии
- Процесс $p + N \rightarrow \mu^+ \mu^- + X$ впервые был зарегистрирован на ускорителе AGS.
- На сегодняшний день основными локациями по изучению процесса Дрелла-Яна являются эксперименты большого адронного коллайдера ATLAS, LHCb, CMS.
- Ни одна из работ не предоставляет полный набор измеренных угловых поляризационных коэффициентов A_i для W бозона
- Проблемы с полной реконструкции W бозона из-за нейтрино в конечном состоянии, который не регистрируется напрямую детектором ATLAS
- Согласно недавним исследованиям [1] полный набор угловых коэффициентов A_i можно измерить

[1] <https://arxiv.org/abs/1609.02536>

Дифференциальное сечение распада W-бозона

В партонной модели сечение получают через амплитуды жестких партон-партонных взаимодействий, которым предшествует образование двух партонов из сталкивающихся протонов на расстояниях значительно больших по сравнению с жесткими процессами. Сечение процесса представляется свёрткой функций распределений партонов в протоне (PDF) и вычисляемого в КХД сечения жесткого процесса.

$$p + p \rightarrow W + X \rightarrow l + \nu_l + X \quad \frac{d\sigma^{h_1 h_2}}{dp_T^2 dy d\Omega^*} = \sum_{a,b} \int dx_1 dx_2 f_a^{h_1}(x_1, M^2) f_b^{h_2}(x_2, M^2) \frac{sd\hat{\sigma}_{ab}}{dt du d\Omega^*}(x_1 P_1, x_2 P_2, \alpha_s(\mu_R^2)) \quad (1)$$

- f_i - функция определяет плотность вероятности обнаружения партона i с долей импульса партона x в протоне, на энергетическом масштабе, который задается параметром шкалы факторизации КХД M .
- σ_{ab} - сечение процесса на партонном уровне, которое вычисляется по степеням бегущей константы связи КХД $\alpha_s(\mu_R^2)$
- μ_R - энергетический масштаб перенормировки
- p_T, y - поперечный импульс и быстрота в лабораторной системе
- θ, ϕ - полярный и азимутальный угол лептона в системе центра масс W -бозона.
- P_1, P_2 - 4-импульсы протонов;

Суммирование выполняется по всем ароматам партонов

Обычно $M \sim q$, где переданный 4-импульс q задает шкалу энергии, которая факторизует физику на больших расстояниях, связанную с излучением коллинеарных или мягких партонов, и которая не может быть количественно рассчитана в пертурбативной КХД. Таким образом, вычисляемые в КХД переменные, определяемые конкретным физическим процессом, становятся «инфракрасно стабильными», то есть не зависят от физических процессов на больших расстояниях

Дифференциальное сечение распада W-бозона

Описание образования лептонных пар в процессах Дрелла-Яна можно осуществить по аналогии с глубоко неупругом лептон-адронным рассеянием (через свертку лептонного $L_{\mu\nu}$ и адронного тензора $H_{\mu\nu}$). По аналогии с данным процессом вводятся 9 структурных функций, которые описывают чистую динамику адронной системы.

$$9 = \boxed{4(dis.) + 1(abs.)} + \boxed{2(dis.) + 2(abs.)}$$

Сохраняют P честность Нарушают P честность

Для факторизации лептонной и адронной части необходимо рассмотреть эквивалентное представление адронного тензора в базе спиральности.

$$H_{mm'} = \epsilon_\mu^*(m) H^{\mu\nu} \epsilon_\nu(m') \quad (2) \quad \epsilon_\mu(\pm) = \frac{1}{\sqrt{2}}(0; \pm 1, -i, 0), \epsilon_\mu(0) = (0; 0, 0, 1) \quad (2)$$

Где (2) векторы поляризации калибровочного бозона, определенные в выбранной системе его покоя.

$$m, m' = +, 0, -$$

$$H_{mm'} = \begin{bmatrix} H_{++} & H_{+0} & H_{+-} \\ H_{0+} & H_{00} & H_{0-} \\ H_{-+} & H_{-0} & H_{--} \end{bmatrix}$$

$$\begin{aligned} \sigma^{U+L} &\propto H_{00}^H + H_{++} + H_{--} & \sigma^L &\propto H_{00} \\ \sigma^T &\propto 1/2(H_{++} + H_{--}) & \sigma^I &\propto 1/4(H_{+0} + H_{0+} - H_{-0} - H_{0-}) \\ \sigma^P &\propto (H_{++} - H_{--}) & \sigma^A &\propto (H_{+0} + H_{0+} + H_{-0} + H_{0-}) \\ \sigma^7 &\propto -i/2(H_{+-} - H_{-+}) & \sigma^8 &= -i/4(H_{+0} - H_{0+} + H_{-0} - H_{0-}) \\ \sigma^9 &\propto -i/4(H_{+0} - H_{0+} - H_{-0} + H_{0-}) \end{aligned}$$

σ^α - сечения с заданной спиральностью, которые представляют собой линейные комбинации элементов поляризации матрицы плотности $H_{mm'}$

Дифференциальное сечение распада W-бозона

Угловая зависимость дифференциального сечения может быть записана в следующем виде:

$$\frac{d\sigma}{dp_T^2 dy d\Omega^*} = \sum_{\alpha \in M} g_\alpha(\theta, \phi) \frac{3}{16\pi} \frac{d\sigma^\alpha}{dp_T^2 dy} \quad (3)$$

$$M = \{U+L, L, T, I, P, A, 7, 8, 9\}$$

- $g_\alpha(\theta, \phi)$ - гармонические полиномы второго порядка, умноженные на соответствующий нормировочный множитель
- σ^α - сечения с заданной спиральностью, которые представляют собой линейные комбинации элементов поляризации матрицы плотности $H_{mm'}$

$$g_{U+L}(\theta, \phi) = 1 + \cos^2(\theta)$$

$$g_L(\theta, \phi) = 1 - 3 \cos^2(\theta)$$

$$g_T(\theta, \phi) = 2 \sin^2(\theta) \cos(2\phi)$$

$$g_I(\theta, \phi) = 2\sqrt{2} \sin^2(2\theta) \cos(\phi)$$

$$g_P(\theta, \phi) = 2 \cos(\theta)$$

$$g_A(\theta, \phi) = 4\sqrt{2} \sin(\theta) \cos(\phi)$$

$$g_7(\theta, \phi) = 2 \sin^2(\theta) \cos(2\phi)$$

$$g_8(\theta, \phi) = 2\sqrt{2} \sin^2(2\theta) \cos(\phi)$$

$$g_9(\theta, \phi) = 4\sqrt{2} \sin(\theta) \cos(\phi)$$

$$\sigma^{U+L} \propto H_{00}^H + H_{++} + H_{--}$$

$$\sigma^L \propto H_{00}$$

$$\sigma^T \propto 1/2(H_{++} + H_{--})$$

$$\sigma^I \propto 1/4(H_{+0} + H_{0+} - H_{-0} - H_{0-})$$

$$\sigma^P \propto (H_{++} - H_{--})$$

$$\sigma^A \propto (H_{+0} + H_{0+} + H_{-0} + H_{0-})$$

$$\sigma^7 \propto -i/2(H_{+-} - H_{-+})$$

$$\sigma^8 \propto -i/4(H_{+0} - H_{0+} + H_{-0} - H_{0-})$$

$$\sigma^9 \propto -i/4(H_{+0} - H_{0+} - H_{-0} + H_{0-})$$

Через σ^{L+U} обозначено сечение неполяризованных бозонов, а через $\sigma^{L,T,I,P,A,7,8,9}$ обозначены различные вклады в сечение для калибровочных бозонов с разной поляризацией. (<https://inspirehep.net/literature/335604>)

Каждое индивидуальное спиральное сечение зависит от констант связи W-бозона с кварками и лептонами следующим образом:

$$\sigma^{U+L,L,T,I} \propto (v_l^2 + a_l^2)(v_q^2 + a_q^2)$$

$$\sigma^9 \propto v_l a_l (v_q^2 + a_q^2)$$

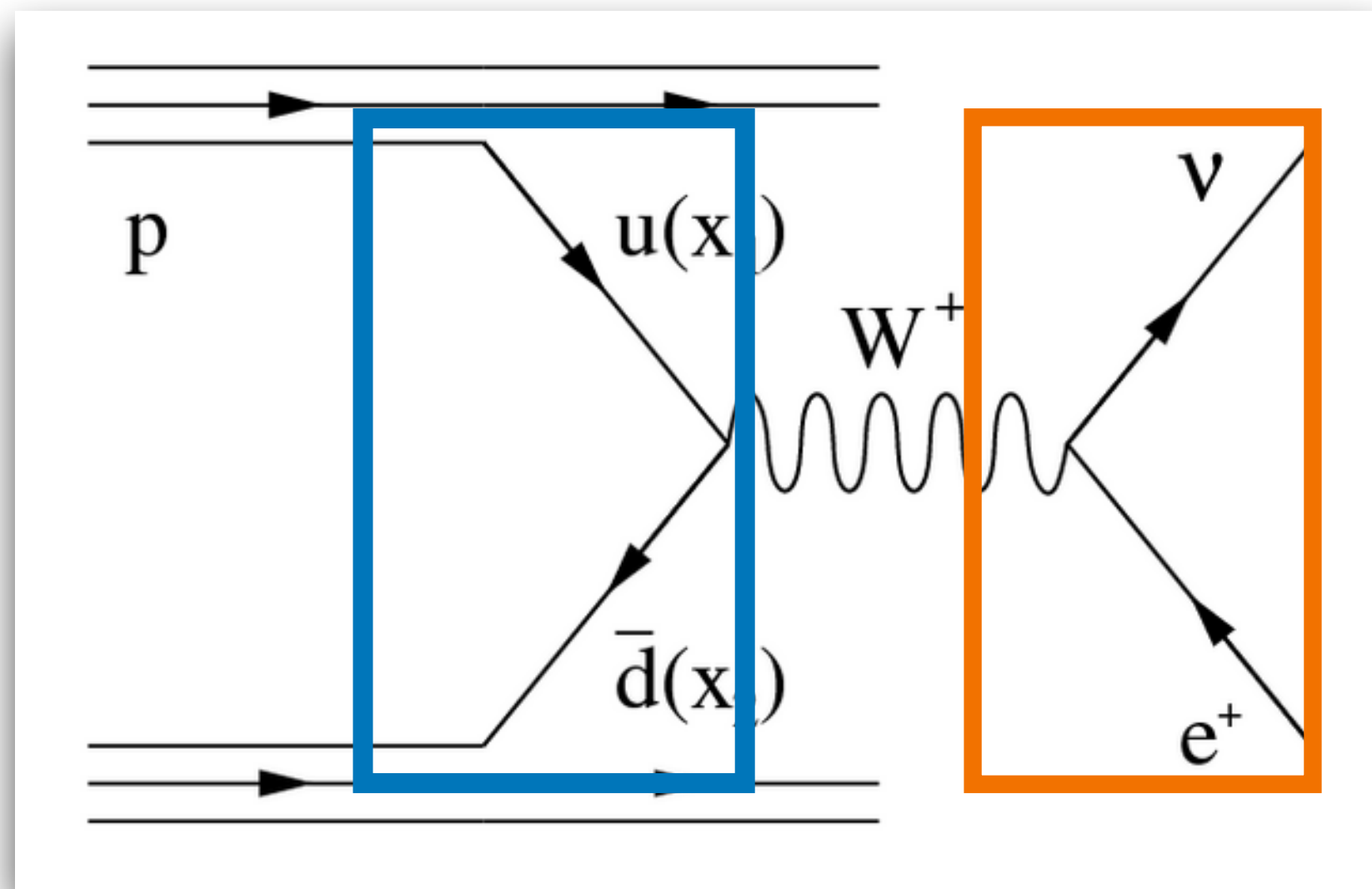
$$\sigma^{P,A} \propto v_l a_l v_q a_q$$

$$\sigma^{7,8} \propto (v_l^2 + a_l^2) v_q a_q$$

- $\sigma^{U+L,L,T,I,9}$ - получают вклад от частей адронного тензора, сохраняющие P честность
- $\sigma^{P,A,7,8}$ - пропорциональны частям адронного тензора, которые нарушают P честность
- $g_{P,A,9}$ - меняют знак при преобразовании P честности → угловые распределения включающие спиральные сечения $\sigma^{U+L,L,T,I,P,A}$ будут P четными
- $\sigma^{7,8,9}$ - T-нечетные

Дифференциальное сечение распада W-бозона

Представление дифференциального сечения в виде разложения по гармоническим полиномам, умноженным на безразмерные угловые коэффициенты A_{0-7}



$$\frac{d\sigma}{dp_T^2 dy d\Omega^*} = \frac{3}{16\pi} \frac{d\sigma^{U+L}}{dp_T^2 dy} \left[(1 + \cos^2 \theta) + \sum_{i=0}^7 P_i(\cos\theta, \phi) A_i(p_T, y) \right] \quad (4)$$

$$P_0(\cos\theta, \phi) = 1 - 3 \cos^2(\theta)$$

$$P_1(\cos\theta, \phi) = 2 \sin^2(\theta) \cos(2\phi)$$

$$P_2(\cos\theta, \phi) = 2\sqrt{2} \sin^2(2\theta) \cos(\phi)$$

$$P_3(\cos\theta, \phi) = 2 \cos(\theta)$$

$$P_4(\cos\theta, \phi) = 4\sqrt{2} \sin(\theta) \cos(\phi)$$

$$P_5(\cos\theta, \phi) = 2 \sin^2(\theta) \cos(2\phi)$$

$$P_6(\cos\theta, \phi) = 2\sqrt{2} \sin^2(2\theta) \cos(\phi)$$

$$P_7(\cos\theta, \phi) = 4\sqrt{2} \sin(\theta) \cos(\phi)$$

A_{0-7} представляют отношение дифференциальных сечений с заданной поляризацией к неполяризованному сечению.

$$A_0 = \frac{2d\sigma^L}{d\sigma^{U+L}} \quad A_1 = \frac{2\sqrt{2}d\sigma^I}{d\sigma^{U+L}} \quad A_2 = \frac{4d\sigma^T}{d\sigma^{U+L}} \quad A_3 = \frac{4\sqrt{2}d\sigma^A}{d\sigma^{U+L}} \quad A_4 = \frac{2d\sigma^P}{d\sigma^{U+L}} \quad A_5 = \frac{2d\sigma^7}{d\sigma^{U+L}} \quad A_6 = \frac{2\sqrt{2}d\sigma^8}{d\sigma^{U+L}} \quad A_7 = \frac{4\sqrt{2}d\sigma^9}{d\sigma^{U+L}}$$

Дифференциальное сечение

Представление дифференциального сечения в виде разложения по гармоническим полиномам, умноженным на безразмерные угловые коэффициенты A_{0-7}

$$\frac{d\sigma}{dp_T^2 dy d\Omega^*} = \frac{3}{16\pi} \frac{d\sigma^{U+L}}{dp_T^2 dy} \left\{ (1 + \cos^2 \theta) + \frac{1}{2} A_0 (1 - 3 \cos \theta) + \right. \\ \left. + A_1 \sin 2\theta \cos \phi + \frac{1}{2} A_2 \sin^2 \theta \cos 2\phi + A_3 \sin \theta \cos \phi + A_4 \cos \theta + A_5 \sin^2 \theta \sin 2\phi + A_6 \sin 2\theta \sin \phi + A_7 \sin \theta \sin \phi \right\} \quad (5)$$

- Угловые коэффициенты A_i являются функциями кинематических переменных W -бозона:
 p_T - поперечного импульса и y - быстроты
- Зависимость A_i от p_T и y определяется выбором оси z системы покоя W -бозона.
- Значение A_i стремится к нулю, когда p_T^W также стремится к нулю, за исключением коэффициента A_4 , который отвечает за асимметрию «вперед-назад» $3/8 A_4 = A_{FB}$.
- С помощью A_{FB} может быть получен $\sin^2 \theta_{eff}^{lept} (?)$. Асимметрия является следствием нарушения P -четности.
- В NLO A_5, A_6, A_7 имеют малое отклонение от 0
- В A_3 наибольший вклад вносит qg . Можно ограничить функцию распределения глюонов
- Соотношение Ламма-Тунга $A_0 = A_2$ в сохраняется LO, но нарушается в более высоких порядках.

Спасибо за внимание!

Дополнительные слайды

Соотношение Лама-Тунга

Согласно статье дифференциальное сечение можно быть записано как: $\frac{d\sigma}{d\Omega} \propto 1 + \lambda \cos^2\theta + \mu \sin 2\theta \cos\phi + \frac{\nu}{2} \sin^2\theta \cos 2\phi$ (6)

В модели Дрелл-Яна $\lambda = 1, \mu = \nu = 0$, однако внутренние поперечные моменты партонов и эффекты КХД могут отклонять данные значения. В статье показана зависимость $1 - \lambda = 2\nu$, которая называется соотношением Лама-Тунга.

Сравнивая (5) и (6), получим: $\lambda = \frac{2 - 3A_0}{2 + A_0}, \mu = \frac{2A_1}{2 + A_0}, \nu = \frac{2A_2}{2 + A_0}$. Тогда, соотношение Лама-Тунга можно записать как $A_0 = A_2$

$$A_0 = \frac{2d\sigma^L}{d\sigma^{U+L}} \quad A_1 = \frac{2\sqrt{2}d\sigma^I}{d\sigma^{U+L}} \quad A_2 = \frac{4d\sigma^T}{d\sigma^{U+L}} \quad A_3 = \frac{4\sqrt{2}d\sigma^A}{d\sigma^{U+L}}$$

$$A_4 = \frac{2d\sigma^P}{d\sigma^{U+L}} \quad A_5 = \frac{2d\sigma^7}{d\sigma^{U+L}} \quad A_6 = \frac{2\sqrt{2}d\sigma^8}{d\sigma^{U+L}} \quad A_7 = \frac{4\sqrt{2}d\sigma^9}{d\sigma^{U+L}}$$

σ^L - сечение бозона с продольной поляризацией
 σ^T - сечение бозона с поперечной поляризацией

Соотношение Лама-Тунга сохраняется в LO, но нарушается в более высоких порядках.

Асимметрия вперед-назад

Асимметрия вылета лептона по направлению «вперед-назад» относительно массы покоя W определяется как:

$$A_{FB} = \frac{\sigma^+ - \sigma^-}{\sigma^+ + \sigma^-}$$

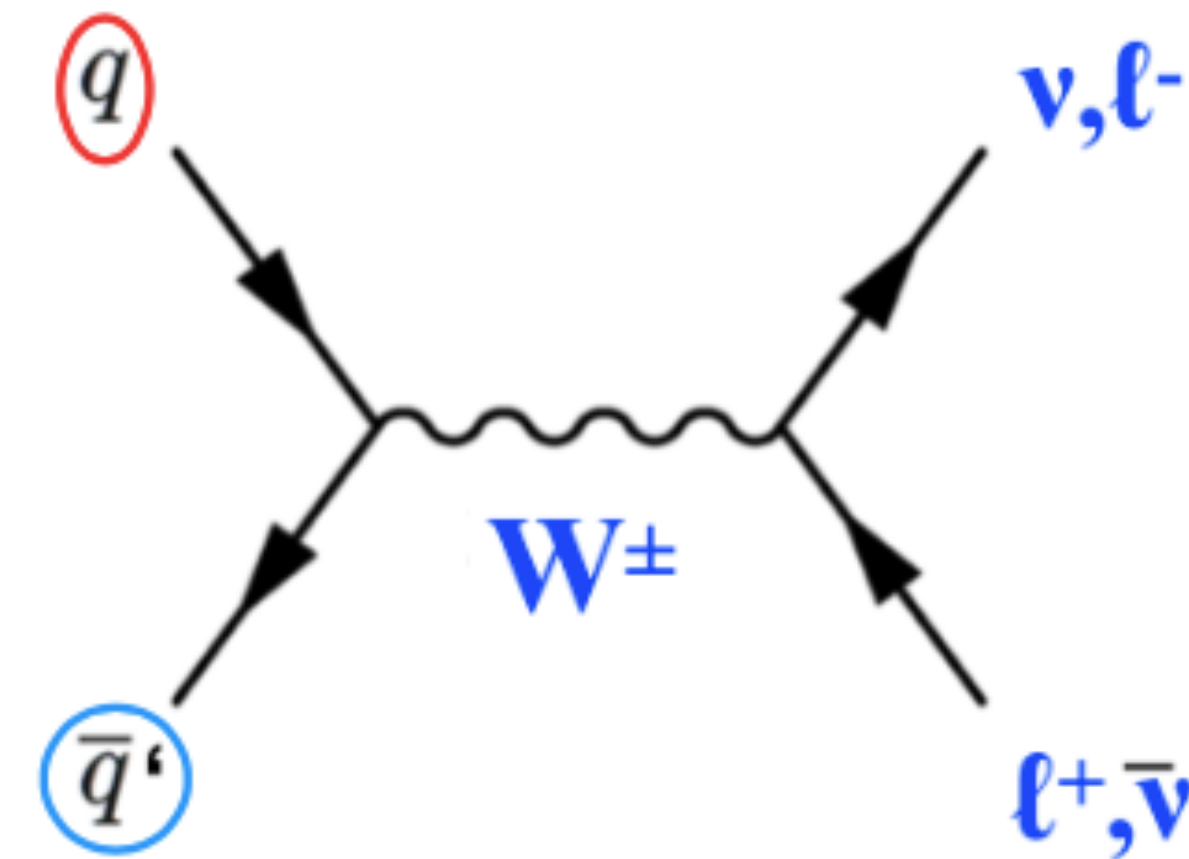
σ^+ - полное сечение для $\cos\theta > 0$

σ^- - полное сечение для $\cos\theta < 0$

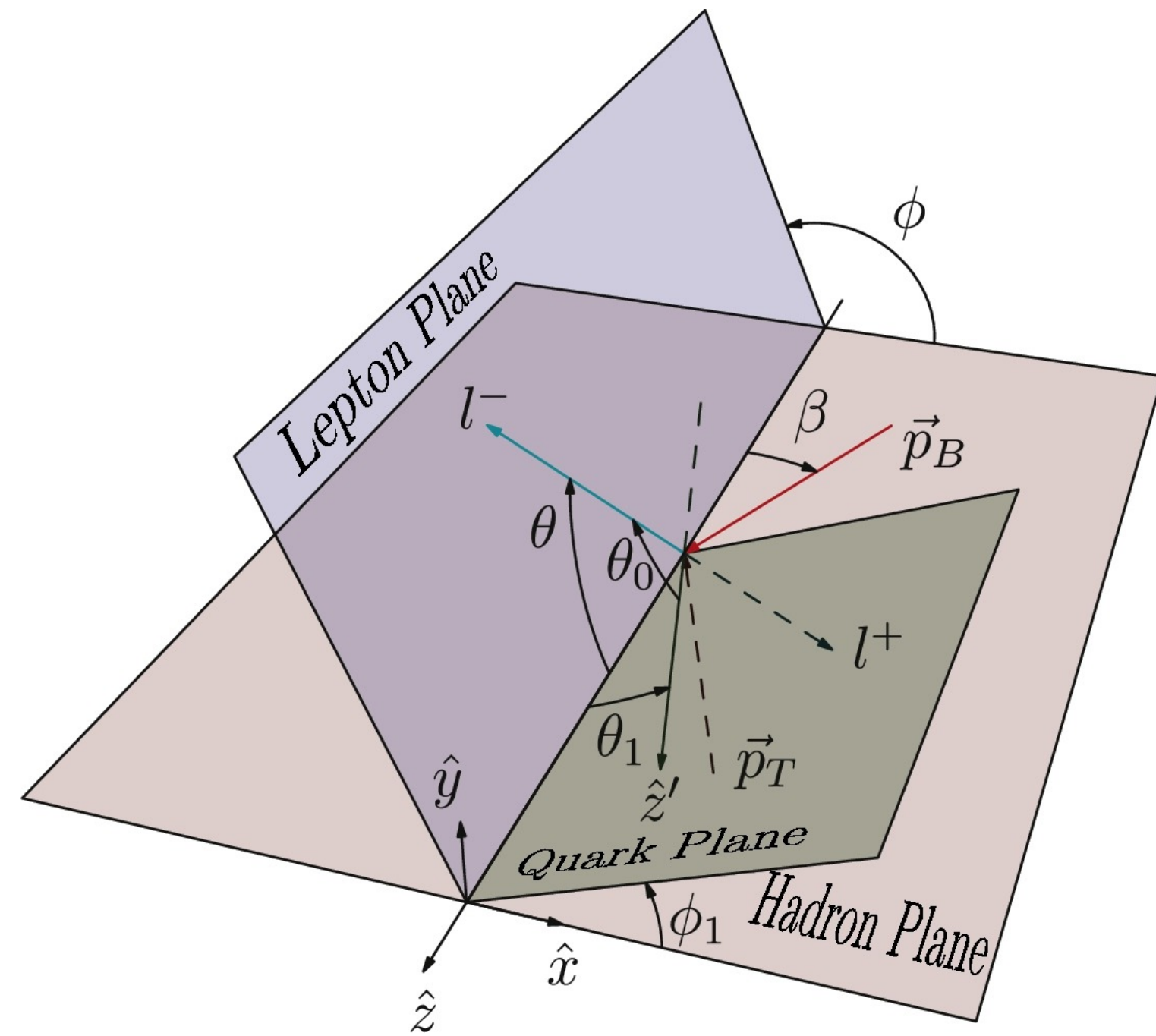
Зарядовая асимметрия

$$A_W = \frac{\sigma_{W^+} - \sigma_{W^-}}{\sigma_{W^+} + \sigma_{W^-}} \quad \begin{array}{l} W^+ \text{ образуется в основном от } u\bar{d} \\ W^- \text{ образуется в основном от } \bar{u}d \end{array}$$

A_W - очень чувствительна к u и d , поэтому может быть использована для более точного измерения PDF



Система покоя Коллинза-Сопера



- Направление оси z выбирается так, чтобы она делила угол между направлением трехмерных импульсов протонов в системе покоя пополам
- Положительное направление оси z выбирается в сторону вылета W -бозона в лабораторной системе.
- *Quark Plane*-плоскость, вдоль которой которой $q\bar{q}$ сталкиваются, образуя W -бозон в состоянии покоя.
- *Hadron Plane* - плоскость, образованная векторами импульсов двух сталкивающихся адронов.
- *Lepton plane* - плоскость, определяемая вектором импульса заряженного лептона (l) и осью z .